

Ag - 8

V 2609

1901

Berthelot

152. Compt. rend. 133, 555 (1901)



Circ. 500

w.

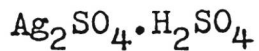
F

1921

V 2622

Kendall J. and Davidson A.W.

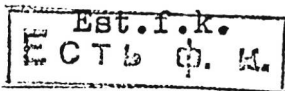
J. Am. Chem. Soc. 43, 979-90 (1921)



T_{tr}

Circ. 500

Be.



V 2623

1925

Ephraim

8. Ber. 58, 2262 (1925)

$\text{Ag}_2\text{SO}_4 \cdot 2\text{HCl}$; $\text{NiCl}_2 \cdot n\text{NH}_3$ }
 $\text{NiBr}_2 \cdot n\text{NH}_3$; $\text{NiI}_2 \cdot n\text{NH}_3$; }
 $\text{NiSO}_4 \cdot n\text{NH}_3$

Corc. 500

W.

Есть ф. к

~~N-412~~ VI 3880

K_{diss} (CdCl⁺, PbCl⁺, CaNO₃⁺, SrNO₃⁺, 1930
BaNO₃⁺, CdNO₃⁺, PbNO₃⁺, LiSO₄⁻, NaSO₄⁻,
KSO₄⁻, AgSO₄⁻, TiSO₄⁻)

Righellato E.C., Davies C.W.

Trans. Faraday Soc. 1930, 26,
592-600

"The extent of ..."

W

Glenn R. M.

V 2777

1931

AgS₂O₃ - (Hf) (K)

Carriere E., Raulet

Compt. rend. 1931, 192 423-5

The study of the complex silver hyposulfites
of sodium.

CA, 1931, 2630

W., Ja.

E Est. fuk. M.

V 2475 . .

1933

Eastman E.D. and Milner R.T.

J. Chem. Phys. 1, 444-56 (1933)

$$\text{AgCl} \quad (\text{S}^0, \text{Cp})$$

AgBr (ΔFf)

$$\text{Ag}(\text{S}_2\text{O}_3)^{3-} \quad (\Delta \text{Haq})$$

Circ. 500

Ja. W., Be.

Ect-^{Est}af..Kf.

V 2621

1941

ΔH_{fus} (Li₂S₂O₇, K₂S₂O₇, Na₂S₂O₇, Ag₂S₂O₇)

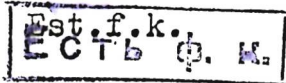
Flood H., Forland T.

Acta Chem. Scand. 1941, 1, 781-9 (in English)

The acidic and basic properties of oxides.
The thermal decomposition of pyrosulfates.

CA, 1948, 806li

M.



B9 6865-VI

1947

AgSO₄
(K₂)

Näsänen R.

Acta chem. scand.,
1947, 1, 763-769

V 2778

1951

/Ag(SO₃)₂³⁻/ (Δ Hf; Δ Sf)

Jahn E.L., Staude. H.

Z. Naturforsch, 1951, 6a, 385-7

Solubility of silver bromide in complex forming solvents. Solubility in sodium sulfite solution.

CA, 1952, 6905a

J.

Est.f.k.
ЕСТЬ Ф. К.

V 2776

1955

$[\text{AgS}_2\text{O}_3]^-$, $[\text{Ag}(\text{S}_2\text{O}_3)_2]^{3-}$ (Kunz, D)

Chateau H., Pouradier J.

C.r. Acad. sci. 1955, 240, N 19, 1882-84

Contribution à l'étude des complexes argentithiosulfate.

PJX, 1956, N 3, 6606

Ja.

E.C.E.S.T. f.B.K.H.

Б9- V 2181

1955
3-

$[\text{Cu}(\text{SO}_3)_3]^{5-}$; $[\text{Cu}(\text{SO}_3)_2]^{3-}$; $[\text{CuSO}_3]^-$; $[\text{Ag}(\text{SO}_3)_2]^-$
 $[\text{Ag}(\text{SO}_3)]^-$

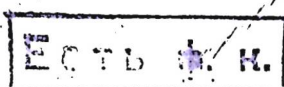
Торопова В.Ф., Сиротина И.А., Ротанова В.Б.

уч.зап. Казанск.ун-та, 1955, II5, № 3, 53-60

Сульфитные комплексы меди и серебра.

PJX, 1956, N 5, 12645

Ja.



Est.f.k.

V 2773 .

1956

/Ag(SO₃)₂/³⁻; /Ag(SO₃)₃/⁵⁻; /AgSO₃/⁻ (Kp)

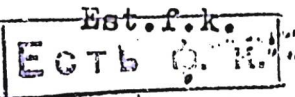
Chateau H., Durante M., Hervier B.

Sci et inds Photogr., 1956, 27, N 3, 81-90

Nature et stabilité des complexes argentio-sulfites à 25°C: (I) Etude des solutions aqueuses de sulfite de sodium.

PJX, 1956, N 23, 74622

Ja.



V 2775 .

1956

AgSO₃ (Kp)

Ag₂SO₃ (IIp)

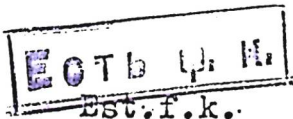
Chateau H., Durante M., Hervier B.

Sci et inds photogr., 1956, 27, N 7, 257-62

Nature et stabilité des complexes argentisulfites. II. Etude des solutions de bisulfite de sodium.

PJX, 1957, 26462

Ja.



Bp-V 2774

1957

$\text{Ag}(\text{SO}_3)^{-}$, $\text{Ag}(\text{SO}_3)_2^{3-}$, $\text{Ag}(\text{SO}_3)_3^{5-}$ (K gucc)

$\text{Ag}(\text{SO}_2)_2^{3-}$, $\text{Ag}(\text{SO}_3)_3^{5-}$ (ΔH , ΔF , ΔS)

Bourdon J., Chateau H., Mailliet A.M.

Sci. et inds photogr., 1957, 28, N 12, 486-93

Nature et stabilité des complexes argentisulfites.

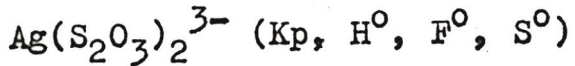
PJX, 1958, N 14, 46212

J.

E·f·k·
E·C·T·S · H.

V 2780

1957



Chateau H., Hervier B., Pouradier J.

J.Phys.Chem., 1957, 61, N 2, 250-51

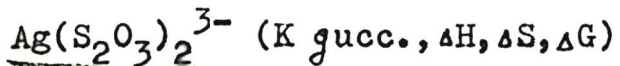
Thermodynamics of the formation of the silver dithiosulfate complex ion.

PJX, 1957, 71342
Ja.

F

V 2779

1957



Chateau H. Hervier B., Pouradier J.

J. Chim. phys. et phys.-chim. biol., 1957,
54, N 3, 246-50

Thermodynamique de la reaction de formation
de l'ion complexe argentidithiosulfate.

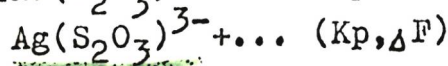
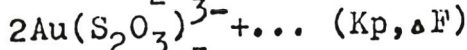
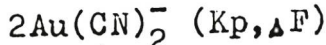
PJX, 1958, N 9, 27848

Ja.

F

V 2734

1957



Раховский И. А.

Уф. АН СССР № 1954, № 29-34.

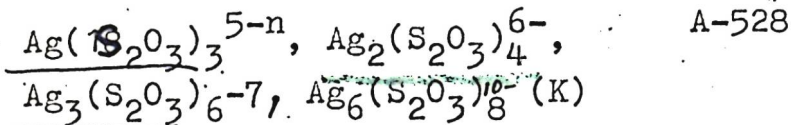
К теории широкометаллургии благородных металлов.

PJX, 1958, N 6, 17299

Ja.

Ест Est. f. k.

1958



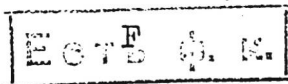
A-528

Nilsson RdF O.

Arkiv kemi, 1958, 12, N3, 219-31.On the complex formation between silver and
thiosulphate ions. I. Solubility measurements.

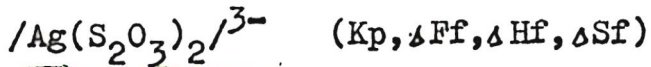
RX., 1958, N22, 73533

Ja,



V 2781

1959



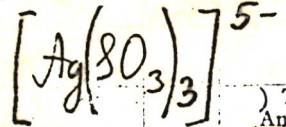
Seth R.L. Dey A.K.

Z.Phys. Chem. (DDR), 1959, 210, N 3-4, 108-13

Formation constant of the complex, and free energy, enthalpy, and entropy changes in the formation of argento thiosulphates by the dissolution of silver bromide in sodium thiosulphate.

PJX, 1959, 7991
J.

ECTB ϕ. K.
Est.f.k.



VI-3265

1963

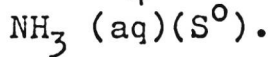
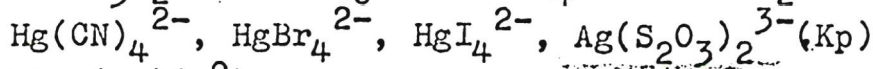
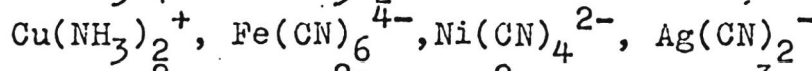
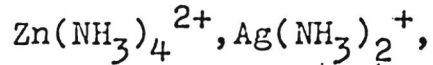
) The sulfite complex of silver. A. M. Nazaretyan and F. K. Andryushchenko. *Ukr. Khim. Zh.* 29(5), 484-7(1963). The potentials of Ag in sulfite complex solns. were measured. In concd. Na_2SO_3 solns., Ag builds the complex ion $[\text{Ag}(\text{SO}_3)_3]^{5-}$. The dissociation const. of the complex anion was calcd. as $K_d = 2.06 \times 10^3$.

J. A. Perez-Bustamante

C.A. 1963.59.6
6020 bc

1965

VI-4521



Егоров А.М., Одинец З.К..

Сб. научн. трудов Гос. научн. иссл. Ин-та

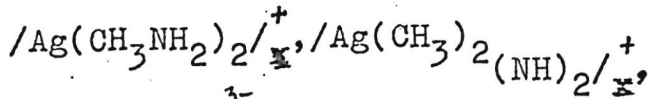
Цветн. метал., 1965, № 23, 247-5.

Температ. зависимость констант нестабильности
ряда комплексных ионов.

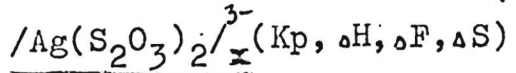
Ja,

F

CA, 1966, 64, N6, 7425f



VI-4462



Luca C., Magearu V., Popa Gr.

An.Univ.Bucuresti. Ser.Stiint.natur.chim,
1965, 14, N1, 109, 14.

Термодинам.исследов.образования некоторых
комплексных соединений серебра в водных
и водно-метан.растворах.

РХ., 1967, 4B68 Ja, B

F

ВР-3973-VI 1965

Ag₃SJ

14 В23. Бромидсульфид серебра Ag_3SBr и йодидсульфид серебра Ag_3SJ . I. Получение, свойства и фазовые отношения в Ag_3SBr и Ag_3SJ . Reuter, Bertold, Nagel, Kurt. Silbersulfidbromid Ag_3SBr und Silbersulfidjodid Ag_3SJ Darstellung, Eigenschaften und Phasenverhältnisse von Ag_3SBr und Ag_3SJ . «Z. anorgan. und allgem. Chem.», 1965, 340, № 3—4, 158—167 (нем.; рез. англ.)

Описано получение соединений Ag_3SBr (I), Ag_3SJ (II) и $\beta\text{-Ag}_3\text{SBr}_x\text{J}_{1-x}$ (III). I получают нагреванием в вакууме до 280° эквимол. смеси Ag_2S (IV) и AgBr (V) в течение 4 недель. Реакционную смесь периодически растирали. Полноту р-ции проверяли рентгенографически. II получали аналогично I из эквимол. смеси IV и AgJ (VI) при $210—5^\circ$. II существует в 2 модификациях: $\alpha\text{-II}$ (устойчивая выше 235°) и низкот-риая $\beta\text{-II}$.

X. 1966

14

α -II получают нагреванием в течение нескольких час. эквимол. смеси IV и VI в вакууме до 280°. Методом ДТА и рентгенографически показано, что I распадается при $430 \pm 10^\circ$ на IV и V, II устойчив до 550°. I и β -II разлагаются на свету, в H_2O , при давл. 10 000 атм и $\sim 20^\circ$, в размолотом состоянии. Zn и HCl или гидрохинон восстанавливают I и II до Ag; HNO_3 или Br разрушают I и II.

Взаимодействием V и VI с переменным кол-вом IV получены соединения $Ag_{1+x}S_xBr_{1-x}$ и $Ag_{1+x}S_xJ_{1-x}$, причем x увеличивался от 0,40 до 0,67. Показано, что V или VI и IV обладают незначительной взаимной р-римостью в тв. состоянии. III получают взаимодействием I и β -II или V, VI и IV в вакууме в интервале 220—80° в течение 2 месяцев.

О. Голубев

(965)

 Ag_3SBr Ag_3SJ

V1 Б311. Сульфобромид серебра Ag_3SBr и сульфоид серебра Ag_3SJ . II. Кристаллические структуры Ag_3SBr , β - и $\alpha\text{-}\text{Ag}_3\text{SJ}$. Reuter, Bertold, Hagedel Kueg. Silbersulfidbromid Ag_3SBr und Silbersulfidjodid Ag_3SJ . Die Kristallstrukturen von Ag_3SBr , β - und $\alpha\text{-}\text{Ag}_3\text{SJ}$. «Z. anorgan. und allgem. Chem.», 1965, 340, № 3-4, 168—180 (нем., рез. англ.)

Проведено рентгенографич. (камера Гинье, λ Cu- K_{α}) исследование Ag_3SBr (I), $\beta\text{-}\text{Ag}_3\text{SJ}$ (II) и $\alpha\text{-}\text{Ag}_3\text{SJ}$ (III). Структура I определена методом проб, ф. гр. $Pm\bar{3}m$, параметр куб. решетки a 4,806, ρ (изм.) 6,46, $Z=1$. Структура I может быть получена из идеальной антиперовской структуры смешением ионов Ag от центров граней

Х : 1967 . 1

к вершинам элементарной ячейки. Фаза II изоструктурна с I, a 4,903 Å, ρ (изм.) 6,64. Кристаллографич. исследование III проведено при т-ре 300°, III характеризуется куб. объемно-центр. решеткой, a 4,993 Å, ρ (изм.) 6,50, и неупорядоченным распределением катионов в 42 пустотах анионной упаковки. Сообщение I см. РЖХим, 1966, 14B23. В. Зильберштейн

Ag₃SJ

Bsp - 4578-VI

1967

15 Б818. Бромидсульфид серебра Ag_3SBr и йодид-сульфид серебра Ag_3SJ . IV. Фазовые соотношения в системе $\text{AgJ}-\text{Ag}_2\text{S}$. Beutler B., Pickardt J., Nadel K. Silbersulfidbromid Ag_3SBr und Silbersulfidjodid- Ag_3SJ . IV. Phasenverhältnisse im System $\text{AgJ}-\text{Ag}_2\text{S}$. «Z. phys. Chem.» (BRD), 1967, 56, № 5-6, 309—313 (нем.)

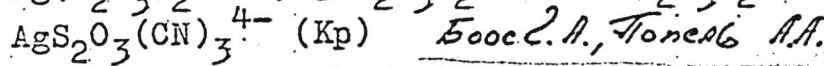
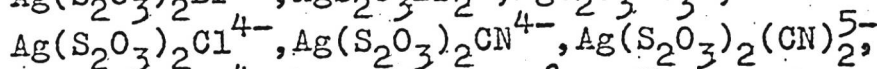
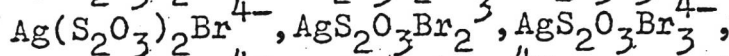
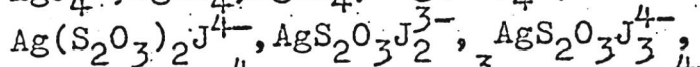
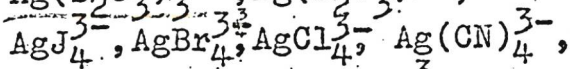
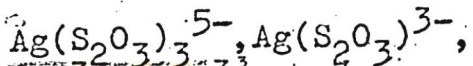
Фазовые соотношения в системе $\text{AgJ}-\text{Ag}_2\text{S}$ исследованы рентгенографич. методом и методом ДТА до 350° . Образцы приготовлены спеканием в вакууме смесей AgJ и Ag_2S при 500° . Установлено, что при 350° в изученной системе область до 27% Ag_2S (всюду мол. %) занимает тв. р-р α - AgJ , а область 50—55% Ag_2S тв. р-р α - Ag_3SJ , в Ag_2S р-ряется при 350° 11% AgJ . Фаза Ag_3SJ имеет 2 модификаций: высокот-рную упорядоченную α и низкот-рную β . Т-ра перехода $\alpha \rightleftharpoons \beta$ равна $235 \pm 10^\circ$. Сообщение III см. РЖХим, 1967, 5Б515. Л. В. Шведов.

P_{tr}

X. 1968. 15

A-943

1967



Боос 2. А., Тонес 6 А.А.

ЖК. неорганические

исследов. науч.-техн. - 2010-, 1967, 12, № 8, 2086-90.
зеленых (чайных) комплексов серебра.

RX., 1968, 4B132

Ja,

Est/orig.

Ag₃SJ

1967

24 Б616. Фазовые равновесия в системе AgJ—Ag₂S.
Такахаси Такэхико, Ямamoto Осаму, Мори Хидэо. «Дэнки кагаку», Denki kagaku, 1967, 35,
№ 3, 181—187 (японск.)

T_{tr} 1118

Методами рентгеновским, термич. анализа и электропроводности изучена система AgJ—Ag₂S. Построена диаграмма состояния. Установлено образование промежуточного соединения Ag₃SJ, кристаллизующегося перитектически из расплава при т-ре ~700°. Ag₃SJ имеет 2 полиморфные формы с т-рой перехода ~240°. Область его гомогенности при облачной т-ре составляет от ~48 до ~54 мол. % Ag₂S. Кроме того, отмечены фазы I, II, кристаллизующиеся перитектически из расплава при т-рах ~590° и ~720° соответственно. Области их гомогенности при т-рах перитектики составляют от ~9 до ~12 мол. % Ag₂S и от ~54 до ~56 мол. % Ag₂S. Отмечены полиморфные переходы AgJ и Ag₂S при т-рах ~115 и ~105° соответственно.

Д. Л. А.

X. 1967. 24

+2

17

$\text{Fe}(\text{SCN})\text{Cl}_+$; $\text{Fe}(\text{SCN})\text{Br}_+$; $\text{Fe}(\text{SCN})\text{SO}_4$; $\text{BiCl}_n\text{B}_2^{2-}$; AgHS , $\text{Ag}(\text{HS})_2^-$; AgHS_2^{2-} (Kciás) VI 6984
Ciaratta Z. 6 13

Corsi Semin. Chim. 1968, No. 8, 73-6.

Quantitative study of systems
with mixed complex formation.

B, 94 12 ①



EA, 1970, 72, N8, 363385

Cu-Ag-Fe-S (possibly polymers). 1968

Taylor J.A., A1212 6 ~~116244~~

666

Dissert. Abschr., B 1968, 99(5), 1733.

System silver-iron-sulfur: phase
equilibria and geologic applica-
tions.

.5

5 Ⓛ

(A1969.70, 14, 612832)

AgSO₄

VI - 6463

1969

100252x Existence of the complex AgSO_4^- in aqueous solutions. Lietzke, Milton H.; Stoughton, Raymond W. (Oak Ridge Nat. Lab., Oak Ridge, Tenn.). *J. Phys. Chem.* 1969, 73(3), 745-6 (Eng). The existence of the complex AgSO_4^- in aq. solns. is discussed in terms of solv., cond., and thermodynamic data. It was not necessary to take into account the existence of AgSO_4^- , KSO_4^- , and MgSO_4 (aq.) in order to explain satisfactorily the solv. data. The phys. significance of these 3 complexes is questioned.

CJJN

helpless
cb - BG

C.A. 1969.

70:22

$\text{Ag}(\text{SO}_4)_2\text{Cl}^{\text{-}}$; $\text{AgSO}_3\text{Cl}_2^{\text{-}}$) VI 6423-BP

$\text{Ag}(\text{SO}_4)_2\text{ClH}^{\text{-}}$; $\text{Ag}(\text{SO}_4)_2(\text{CN})_5^{\text{-}}$ (K) 1969

Изменение хим. соч. Гос. Г.И.

Бюл. Упр. по земельным, строительным и земледельческим вопросам. История района. Вып. 2. Январь, 1969, № 52-85

Установление санитарно-гигиенических

установлений, Краснодарский край

РДК, 1969

15 БЕЗ

ЛГТБ

15.1.8

21102.697

Ch $\text{Ag}_3[\text{S}_2\text{O}_3]_4^5 \cdot 75543$ (K_p) $\bar{\text{XV}}$ 9/2 $\text{Ag}(\text{S}_2\text{O}_3)_2^{3-}$; $\text{Ag}_2(\text{S}_2\text{O}_3)_3^{4-}$ Pouradier Jacques, Rigola Janine. 1972Nature et stabilité des complexes argen-
tithiosulfate. "C. r. Acad. sci.", 1972,
C275, N 10, 515-518(Франц.) B 0742 ник

722 723

735

вийнити

Ag_2X

ommuck 3133

1972

$X = \text{O, Se, Te, S}$

Smees S., et al.

(Do)

Bull. Soc. Chim. Belg.;

1972, 81 (1-2), 45-56.

● (ccw. CuO; $\frac{1}{11}$)

1973

ctg SJ

Кристаллическая структура и
электропроводность твердофазных
электродов на основе ctg I.

Geller S.

(T_{tr})

"Fast. Ion. Transp. Solids. Solid
State Batteries and devices. Proc.
NATO Adv. Study Inst. Belgirate,
1972 " Amsterdam e.a. 1973, 607-615
Discuss. 616 (авт.)

J. 1974. N 14

(cell ctg I; T)

Зак. 247

Ag₈₀O₄ - LBP XVII - 492 1973

Sabourgi M.-h.,
Vallet C., et al.,
J. Phys. Chem., 1973,
77, N13, 1699 -
1704

1973

AgSO₄

149992p Application of the quasilattice model to association in dilute reciprocal molten salt mixtures. System silver sulfate-potassium nitrate. Vallet, C. E.; Braunstein, J. (React. Chem. Div., Oak Ridge Natl. Lab., Oak Ridge, Tenn.). *J. Phys. Chem.* 1973, 77(22), 2672-7 (Eng). Addnl. data considered in abstracting and indexing are available from a source cited in the original document. New emf measurements of the molten salt concn. cell $\text{Ag}|\text{KNO}_3, \text{AgNO}_3(\text{ref})||\text{KNO}_3, \text{AgNO}_3, \text{K}_2\text{SO}_4|\text{Ag}$ were carried out over a wide range of AgNO_3 concns. (2×10^{-4} to 10^{-2} mole ratio) and with a new temp. cycling procedure. Exptl. results are compared with previous data and analyzed in terms of conventional assocn. consts. and the generalized quasilattice model. The pair assocn. energy corresponding to the equil. const. K_1 of $(\text{AgSO}_4)^-$, ΔA_1 , has a temp. dependence $-(\partial \Delta A_1 / \partial T) \sim 2.5 \times 10^{-3}$ kcal/K. The dinuclear assocn. const. K_{12} and assocn. energy, ΔA_{12} for $\text{AgSO}_4\text{-Ag}$, are significant in this molten reciprocal system.

(K_p)

C. A. 1973, N26, 79

XVI-2240

7974

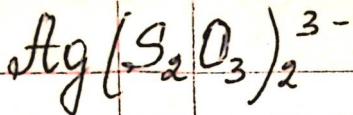
$\text{Ag}(\text{S}_2\text{O}_3)$, $\text{Ag}(\text{S}_2\text{O}_3)_2$, $\text{Ag}(\text{SCN}_2\text{M}_4)^+$, $\text{Ag}(\text{CSN}_2\text{M}_4)_2^+$,
 $\text{Ag}(\text{CSN}_2\text{M}_4)_3$, $\text{Ag}(\text{S}_2\text{O}_3(\text{SCN}_2\text{M}_4))$, $\text{Ag}(\text{S}_2\text{O}_3)_2(\text{SCN}_2\text{M}_4)^2$,
 $\text{Ag}(\text{S}_2\text{O}_3)(\text{SCN}_2\text{M}_4)_2$ (c, Δ f, Δ h, Δ s)

Bellomo A., De Marzio D., Cesare A.,

De Robertis A.

Ann. Chim. (Ital.), 1974, 64, N5-6, 295-304 [AN]

B



1974

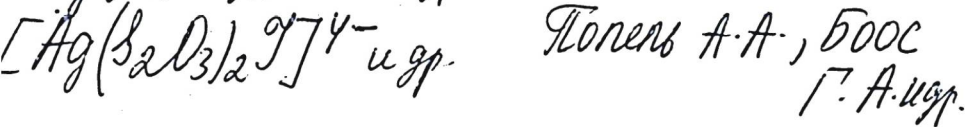
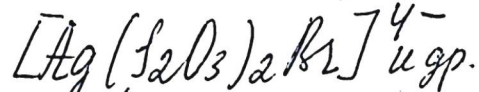
66319f Instability constant of silver thiosulfate ($\text{Ag}(\text{S}_2\text{O}_3)_2^{3-}$) at 25°, 35°, and 45°. Ghosh, J. C. (Dep. Chem., Sci. Coll., Patna, India). *J. Indian Chem. Soc.* 1974, 51(2), 361-3 (Eng). From the soly. of AgBr [7785-23-1] in aq. $\text{Na}_2\text{S}_2\text{O}_3$ [7772-98-7] solns., the instability consts. of $\text{Ag}(\text{S}_2\text{O}_3)_2^{3-}$ (pK) at 25, 35, and 45° are 13.83, 13.55, and 14.18, resp. Heats and entropies of

dissocn. are also given: $\Delta H = 31.12$ kcal/mole, $\Delta S = 41.1$ entropy units at 25°; $\Delta H = -48.92$ kcal/mole, $\Delta S = -218.5$ entropy units at 45°.

C.A. 1975, 83, N8

БР XVI - 2311а

1974



Кр, сг, SH, 3

В сб. "Материалы по
текущему состоянию, мак-
ро- и микроскопии зернистого
хром. металла и алюминия", стр. 422
Казахстан, 1974, № 35-105

1974

Ag-S-Bg
(Каспийское)

18 Б758. Термодинамические характеристики тиосульфатного бромидных и иодидных комплексов серебра (по данным потенциометрических измерений). Цопель А. А., Боос Г. А., Бычкова Т. И. В сб. «Исслед. по электрохимии, магнетохимии и электрохим. методам анализа». Вып. 4. Ч. 2. Казань, Казан. ун-т, 1974, 166—177

Потенциометрическим методом с серебряным индикаторным электродом в интервале 15—60° исследовано равновесие образования тиосульфатного, бромидных и иодидных комплексов серебра. Конц-ия ионов серебра составляла 10^{-3} г-ион/л, а конц-ии лигантов равны (г-ион/л) $0\text{---}1,013$ ($S_2O_3^{2-}$), $0\text{---}3,293$ (Bg^-) и $0\text{---}2,396$ (I^-). При небольших конц-иях лигандов ионная сила р-ров поддерживалась постоянной ($\mu=1$, KNO_3); в случае высоких конц-ий лигантов величины μ колебались в пределах 1—3. Специально поставленными опытами было установлено, что колебания ионной силы в этих пределах не отражаются на величинах измеря-

Х1975 №18

емых потенциалов. Результаты потенциометрич. измерений обрабатывались графически по методу Яцимирского. Табулированы конц.-ионные константы устойчивости (β) комплексов при различных т-рах. По величинам $\lg \beta$ рассчитаны энергии Гиббса, а по т-рной зависимости $\lg \beta$ — сп. энталпии образования комплексов. Величины $-\Delta G$ (ккал/моль) составили для комплекса $[Ag(S_2O_3)_2]^{3-}$ 16,91; 17,20; 17,02; 16,92; 16,83 и 17,10 при 15, 25, 35, 45, 50 и 60° соотв.; $[AgJ_4]^{3-}$ 18,75; 18,40; 17,58; 17,50 и 17,06; $[AgJ_3]^{2-}$ 18,53; 18,30; 17,43; 17,52 и 17,23; $[AgJ_2]^-$ 18,03; 18,55; 17,08; 16,77 и 16,86 при 15, 25, 35, 45 и 60° соотв.; для комплекса $[AgBr_4]^{3-}$ 11,48; 11,75; 10,98; 10,80 и 10,89; $[AgBr_3]^{2-}$ 11,52; 11,86; 11,27; 11,20 и 11,24; $[AgBr_2]^-$ —, 12,11; 11,09; 11,35 и 11,32 при 15, 25, 45, 50 и 60° соотв. Величины $-\Delta H$ (ккал/моль) равны 19,1; 30,0; 26,9; 23,8; 18,7; 15,5 и 22,4 для указанных комплексов соответственно.

П. М. Чукуров

AgX - AgS

1975

X = 20 mol%

130073c Thermodynamic study of silver halide-silver sulfide melts by mass spectrometry. Chang, Soo-Kong (Univ. Toronto, Toronto, Ont.). 1973. No pp. Given (Eng). Avail. Natl. Libr. Canada, Ottawa, Ont. From Diss. Abstr. Int. B 1975, 35(7), 3349.

пачкаль

(переводчик)

c.A. 1975. 82. N20

$\text{Ag}(\text{S}_2\text{O}_3)^-$, $\text{Ag}(\text{S}_2\text{O}_3)_2^{3-}$, $\text{Ag}(\text{SCN}_2\text{H}_4)^+$, 1975
 $\text{Ag}(\text{SCN}_2\text{H}_4)_2^+$, $\text{Ag}(\text{SCN}_2\text{H}_4)_3^+$, $\text{Ag}(\text{S}_2\text{O}_3)(\text{SCN}_2\text{H}_4)^-$,
 $\text{Ag}(\text{S}_2\text{O}_3)_2(\text{SCN}_2\text{O}_4)^{3-}$, $\text{Ag}(\text{S}_2\text{O}_3)(\text{SCN}_2\text{H}_4)_2$, XVI-3900
 $\text{Ag}(\text{S}_2\text{O}_3)(\text{SCN}_2\text{H}_4)_3^-$ (K_c , ΔH , ΔS)

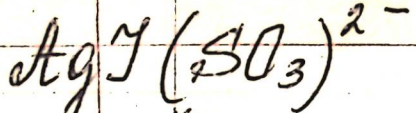
De Marco D., Bellomo A., De Robertis A.
Atti: Soc. pelorit. scz. fis., mat. e nat., 1975, 21, 1
41-48 (турн.). Влияние растворимости на параметры
составов комплексов $\text{Ag}(\text{S}_2\text{O}_3)_n(\text{SCN}_2\text{H}_4)_m$

РДН КУМ, 1977

24B71

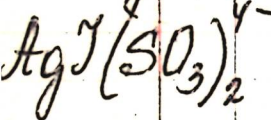
● B (φ)

ОИИ. 1/15476
110



1975

BP-XVI-2601



209938v Composition and stability of mixed silver iodide-sulfite complexes. I. Pailliotet, Anne; Garatin, Francoise; Pouradier, Jacques (Cent. Rech., Soc. Kodak-Pathe, Vincennes, Fr.). *C. R. Hebd. Seances Acad. Sci., Ser. C* 1975, 281(2-3), 55-8 (Fr). The solv. of AgI in aq. solns. of I⁻ and of alk. SO₃²⁻ was detd. electrochem. at 25° in solns. of const. ionic strength. Mixed I⁻-SO₃²⁻ complexes of Ag were formed with stability consts.: AgI(SO₃)²⁻, pK = 9.2; AgI(SO₃)₂⁴⁻, pK = 10.2; AgI₂(SO₃)³⁻, pK = 12.5.

A. J. Miller

(K_p)

C.R.1975.83 n.26

$\text{Ag}_2\text{S}_2\text{O}_3$

1975

(Kguccos)

84: 141466c On the dissociation constant of silver thiosulfate.
Tyurin, N. G.; Shebekaleva, R. N.; Kokovskii, I. A. (USSR).
Tr. Ural'sk. N.-i. i Proekt. In-ta Med. Prom-sti 1975, (18),
227-8 (Russ). From *Ref. Zh., Metall.* 1976, Abstr. No. 1G475.
Title only translated.

C.A.1976 89 n 20

Ag₂S₂O₃

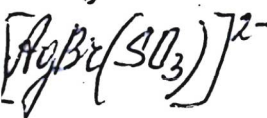
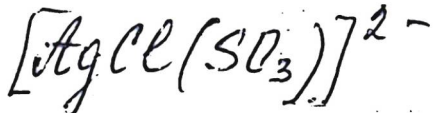
1975

(Kguccas)

184: 141465b On the dissociation constant of silver thiosulfate
Tyurin, N. G.; Shchekaleva, R. N.; Kakovskii, I. A. (USSR).
Tr. Ural'sk. N.-i. i Proekt. In-ta Med. Prom-sti 1975, (18),
227-8 (Russ). From Ref. Zh., Khim. 1976, Abstr. No. 2B1404.
Title only translated.

C.A. 1976 84 n20

1977



(K_p)

88: 12659b Mixed complexes of silver(I). Part III. Systems AgX-sodium sulfite-water (X = Cl⁻ or Br⁻). Makarewicz, Zofia (Dep. Chem., Norm. Sch., Siedlce, Pol.). *Roczn. Chem.* 1977, 51(9), 1729-34 (Eng). The behavior of AgCl and AgBr in aq. Na₂SO₃ was studied by solv. and conductometric methods. The equil. consts. of the mixed complexes [AgCl(SO₃)]²⁻ and [AgBr(SO₃)]²⁻ are 0.11 and 0.0040, resp., and their formation consts. are $\beta = 6.33 \times 10^8$ and $\beta = 7.6 \times 10^9$, resp. The bond energies of these complexes were calcd. from the Friedman (1966) equations.

I. Kloczko

C.A. 1978, 82, 182

Ag₃SJ

Cp, Tc, str

Δ Str

*X. 1979
n.d.*

Б928 Существование упорядоченной фазы в суперионном проводнике Ag₃SJ. Hoshino Sadao, Sakuma Takashi, Fujii Yasuhiko. The existence of the order phase in superionic conductor Ag₃SI. «J. Phys. Soc. Jap.», 1978, 45, № 2, 705—706 (англ.)

В интервале т-р 125—295°К в адиабатич. калориметре измерена т-рия зависимость теплоемкости Ag₃SJ. При 157°К обнаружена аномалия λ-типа, связанная с фазовым переходом в новую, неизвестную ранее фазу, получившую название γ-фазы. Энталпия и энтропия превращения равны 0,23 ккал/моль и 1,44 э. с. Проведен низкот-рный рентгенофазовый анализ. Параметр решетки при 88°К равен 4,869 Å, что практически совпадает с параметром решетки в β-фазе, существующей выше 157°К. Возможная пространственная группа γ-фазы — C₃⁴—R3. Т-рия зависимость интегральной интенсивности пика (110) указывает на наличие гистерезиса порядка 3—4°К. Сделан вывод, что наблюдаемое превращение принадлежит к фазовым переходам 1-го рода, но достаточно близко примыкает к переходам 2-го рода. При превращении каркас из атомов S—J остается неизменным, а атомы Ag занимают одно из четырех мест вокруг гранецентрир. позиций в β-фазе, давая симметрию 3-го порядка относительно оси [111].

Г. Л. Апарников

1978

Ag_3SBr | Lommelca 8371 | 1978.

$\text{Ag}_3\text{S}\gamma$ Magistris A., Chiodelli F.
et al

(tr) Z. Phys. Chem. (BRD), 1978,
112, 251-253.

$3\text{Ag}_2\text{S}\cdot\text{As}_2\text{S}_3; 3\text{Ag}_2\text{S}\cdot\text{Sb}_2\text{S}_3$ (T_{t_2})

1979

Баиса Д.Ф., Бондарев А.В.,

Малбучев С.В. 6153-XVI

9-е Всер. собр. по сейсмозлектрическому
Ростов-на-Дону, 1979. Тез. докл. Г.И. Ростов-на-
Дону, 1979, 116. Структурные фазовые переходы в
кристаллах прустита и пирартиита под
воздействием высоких гидростатических давлений

РН Ким, 1980

45962



5 Ⓢ

1979

Ag_3SBr

Ag_3SJ

(T_{tr} ; σ_{tr})

19 Б604. Ag_3SBr и Ag_3SJ : ионная проводимость их различных модификаций в области температур 93—573 К. Chiodelli Gaetano, Magistris Aldo, Schiraldi Alberto. Ag_3SBr and Ag_3SJ : ionic conductivity of their modifications in the T range 93—573 K. «Z. phys. Chem.» (BRD), 1979, 118, № 2, 177—186 (англ.; рез. нем.)

Методами низкот-рной рентгенографии, а также путем изучения электропроводности (σ) и ДТА исследованы Ag_3SBr (I) и Ag_3SJ (II). На т-рной зависимости $\sigma(T)$ для I наблюдается скачок при т-ре 126 К, к-рый отвечает фазовому превращению высокот-рной формы с антиперовскитной структурой в объемноцентр. кубич. форму, излом при 161 К и отклонение от закона Аррениуса выше этой т-ры. Для I выше 161 К величина $\sigma \cdot T = 1640 \exp(-4960/RT) + 8,90 \exp(-2320/RT)$, а при $126 < T < 161$ К $\sigma \cdot T = 130 \exp(-3190/RT)$. При низких т-рах проводимость мала и описывается законом $\sigma \cdot T = 2,4 \cdot 10^4 \exp(-4800/RT)$. На т-рной зависимости $\sigma(T)$

X. 1980. N 19

для II наблюдаются скачки при 159 К (переход от низкот-рной кубич. к антиперовскитной структуре) и при 508 К (переход от антиперовскитной к высокот-рной объемноцентр. кубич. структуре). Для II с антиперовскитной структурой $\sigma \cdot T = 770 \exp(-3850/RT) + 15 \exp(-1960/RT)$; а для низкот-рной кубич. II $\sigma \cdot T = 9,4 \cdot 10^5 \exp(-5860/RT)$. На основе измерений электронного вклада в проводимость показано, что она имеет преимущественно ионный характер. Получены данные об изменении энталпии и проводимости для I и II в точках фазовых переходов, а также значения проводимости I, II при коми. т-ре: $1,8 \cdot 10^{-3}$ и $5,6 \cdot 10^{-3}$ ($\text{Ом} \cdot \text{см})^{-1}$ соотв. Отмечено сходство т-рных зависимостей проводимости в I и II и суперионных проводниках типа RbAg_4J_5 .

С. Ш. Шильштейн

ниес
и,

1979

vt93SJ

4 E758. Структурный фазовый переход в ионном сверхпроводнике Ag_3SJ . A structural phase transition in superionic conductor Ag_3SI . Hoshino Sadao, Sakuma Takashi, Fujii Yasuhiko. «J. Phys. Soc. Jap.», 1979, 47, № 4, 1252—1259 (англ.)

На порошковом образце Ag_3SJ измерена удельная теплоемкость в интервале 125—540° К. Температура превращения и изменение энтропии при фазовом $\gamma \rightarrow \beta$ -переводе вблизи 157° К составляют 0,23 и 1,44 кал/моль·°К, а при $\beta \rightarrow \alpha$ -переводе вблизи 519° К — 1,14 и 2,71 кал/моль·°К, соответственно. Оба перехода относятся к первому роду, однако $\gamma \rightarrow \beta$ -перевод по термодинамическим особенностям близок к переходу второго рода.

φ. 1980 № 4

По данным рентгено- и нейтронографии кубич. β -фаза относится к пр. гр. $Pt3m$, в которой ионы Ag смешены из четырех позиций в центрах граней на $0,5 \text{ \AA}$ в направлении [110]. В ромбоэдрич. γ -фазе с пр. гр. $R\bar{3}$ ион Ag находится в одной из этих четырех позиций. Сделан вывод о том, что низкотемпературный переход характеризуется не только изменением дальнего порядка, но и изменениями кристаллич. строения. Библ. 16.

Б. Г. Алапин

1979

Ag₃SI

Ag₃SI
reflexes

91: 202801b A structural phase transition in superionic conductor trisilver sulfur iodide. Hoshino, Sadao; Sakuma, Takashi; Fujii, Yasuiko (Inst. Solid State Phys., Univ. Tokyo, Tokyo, Japan 106). *J. Phys. Soc. Jpn.* 1979, 47(4), 1252-9 (Eng). The phase transition and the crystal structures of a superionic conductor Ag₃SI were investigated by sp. heat measurements and by x-ray as well as neutron-diffraction methods. The transition entropies are 1.44 cal/mol-degree for the γ - β transition at 157 K and 2.71 cal/mol-degree for the β - α transition at 519 K. Least-squares refinements of at. positions and isotropic temp. factors were carried out. The β -Ag₃SI is cubic with space group *Pm3m* in which Ag is distributed into four positions apart 0.5 Å from the face-centered position toward [100], while in γ -Ag₃SI < 157 K, Ag is located at one of these 4 positions obeying the symmetry of the rhombohedral space group *R3*. The nature of the successive phase transitions in Ag₃SI is not only of the order-disorder type but also structural. The phase transitions are compared with that of CsPbCl₃.

P.A. 1979.9.124

1949

*Ag₈S₃O₄**Кристалл.
струйки.*

14 Б407. Новые кристаллографические данные для сульфато-сульфида серебра $\text{Ag}_8\text{S}_3\text{O}_4$. Hirsch H. New crystal data for silver sulphide sulphate, $\text{Ag}_8\text{S}_3\text{SO}_4$. «J. Appl. Crystallogr.», 1979, 12, № 1, 129—130 (англ.)

Смешанный сульфато-сульфид серебра $\text{Ag}_8\text{S}_3\text{SO}_4$ (I) получен: а) двухдневным отстаиванием смеси водн. р-ров AgNO_3 (0,1 М) и $\text{Na}_2\text{S}_2\text{O}_3$ (0,01 М) с последующей фильтрацией и сушкой без промывки и б) по аналогич-

ной методике из Ag_2SO_4 (0,02 М) и $\text{Na}_2\text{S}_2\text{O}_3$ (0,002 М). Отклонения от методики приводят к загрязненным продуктам. Состав I определен хим. анализом. Параметры тетрагональной решетки: $a = 7,201$, $c = 10,220 \text{ \AA}$, $Z = 2$, ρ (изм.) 6,67, ρ (выч.) 6,61 определены по порошковым данным (λCu). Кор. кристаллы I при 246° претерпевают необратимое превращение, при 405° наблюдается плавление. Под действием света выделяется свободное серебро. Уд. электропроводность I резко возрастает с т-рой от $2,5 \cdot 10^{-4}$ при 25° до $0,35 \text{ ом}^{-1} \cdot \text{см}^{-1}$ при 200° . Приведены значения I , d , (hkl) рентгенограммы порошка I и данные по изменению электропроводности от т-ры. I — тв. электролит.

В. А. Ефремов

Де. 1949, № 14

1949

Ag₈S₃SO₄

(00) 131950

Ag₈S₃SO₄

Engl.).

Ag₈S₃SO₄ was isolated from the new and unexpected powders pattern of aged ppts. obtained by mixing solns. of excess AgNO₃ and Na₂S₂O₃ under specified conditions. The possible cryst. impurities were identified and conditions were established to yield a pure product. The brown microcryst. material is tetragonal with *a* 7.201 and *c* 10.220 Å. It is a solid electrolyte, has an irreversible transition point at 246° and m. 405°.

Tri-Tex

C.A. 1949, 90, 116

$\text{Ag S}_2\text{O}_3^-$; $\text{Ag}(\text{S}_2\text{O}_3)_2^{3-}$, Ag SCN , $\text{Ag}(\text{SCN})_2^-$, 1980
 $\text{Ag}(\text{SCN})(\text{S}_2\text{O}_3)^{2-}$, $\text{Ag}(\text{SCN})(\text{S}_2\text{O}_3)_2^{4-}$, $\text{Ag}(\text{SCN})_2(\text{S}_2\text{O}_3)^{3-}$,
 $\text{Ag}(\text{SCN})_3^{2-}$, $\text{Ag}(\text{SCN})_4^{3-}$, $\text{Ag}(\text{SCN}_2\text{H}_4)^+$, $\text{Ag}(\text{SCN}_2\text{H}_4)_n(\text{S}_2\text{O}_3)_m(\text{SCN})_l$
(K_R , ΔH , ΔS) 6117-XVI

De Marco D., Bellomo A., De Robertis A. —
J. Inorg. and Nucl. Chem., 1980, 42, N 4, 599-609 (with)

Formation and thermodynamic properties of
 Ag(I) complexes with $\text{S}_2\text{O}_3^{2-}$, SCN_2H_4 and SCN
as ligands.

Publ. No., 1980
21 B 33



B, M (cp)

1980

Ag₃SJAg₃SBr.фазов-
переход

8 E577. Фазовый переход в Ag₃SX (X=J, Br). Phase transition of Ag₃SX (X=J, Br) Hoshino S., Sakuma T., Fujishita H., Takashige M. «Techn. Rept ISSP», 1980, A, № 1084, 17 pp., ill. (англ.)

Суперионные проводники Ag₃SJ и Ag₃SBr при понижении т-ры T претерпевают структурные фазовые переходы при $T_c = 157$ и 128 К соответственно. Измерены спектры рассеяния нейтронов выше и ниже точек переходов и зависимости от т-ры и частоты ω диэлектрической проницаемости ϵ . В низкотемпературных спектрах рассеяния нейтронов обнаружен пик, отвечающий локальным тепловым колебаниям катионов. $\epsilon(T)$ испытывает скачок при повышении т-ры, причем т-ра скачка повышается при увеличении ω и на больших частотах ($\omega = 100$ кГц) становится равной T_c . Обсуждаются возможные механизмы переходов; предполагается, что происходит переход типа порядок — беспорядок в подсистеме катионов.

Е. А. Андрюшин

9.1981.118

1980

Ag₃SJ

(Tc)

12 Б934. Исследование с помощью рассеяния нейтронов фазового перехода в Ag_3SJ . Hoshino Sadao, Sakuma Takashi. Neutron scattering study of the phase transition in Ag_3SJ . «JAERY», 1980, M, № 8719, 9 (англ.)

С помощью измерения неупругого рассеяния нейтронов изучено изменение положения атомов S и J в Ag_3SJ и переход порядок—беспорядок при т-рах между 120 и 290 К. Не зафиксированы мягкие моды; ниже т-ры перехода (157 К) появляется мода с энергией $2 \sim 2.5 \cdot 10^{-3}$ эВ, сходная с модами, зафиксированными у RbAg_4J_5 и AgJ при низкой т-ре, и являющаяся, по-видимому, следствием локальных колебаний у атомов J.

Л. В. Шведов

2: 1981-11/2

1980

Ag₃SJ

3 E582. Дифрактометрическое исследование низкотемпературных модификаций Ag_3SBr и Ag_3SJ . Ag_3SBr and Ag_3SJ : a Diffractometric Study of the low temperature modifications. Spinolo G., Massarotti V. «Z. phys. Chem.» (BRD), 1980, 121, № 1, 7—15 (англ.; рез. нем.)

Tr

Рентгенографически исследована структура соединений серебра, характеризующихся переходом в состояние с суперионной проводимостью. В интервале t -р 100 — 573°K определены параметры элементарных ячеек обоих соединений. Ag_3SJ ниже 159°K кристаллизуется в ромбич. ячейке с параметром $a=4,878 \text{ \AA}$ при $126,1^\circ\text{K}$. Низкотемпературная фаза Ag_3SBr до 126°K

ф. 1981 № 3

имеет тетраг. структуру с $a=9,427$ Å и $c=9,748$ Å при 106°К. При более высоких т-рах обе фазы кубические со структурой типа антиперовскита. Определены величины смещения иона Ag^+ из идеального положения в кубич. фазах. Обсуждены общие черты исследованных структур и переходов с характеристиками других се-ребросодержащих суперионных проводников. Библ. 17.

Б. Г. Алалин

Омск 14764 1980

Ag_3SBr

кристал.
структур.

10 Б389. Существование упорядоченной фазы и структура суперионного проводника Ag_3SBr . Sakuma Takashi, Hoshino Sadao. The existence of the order phase and the structure of superionic conductor Ag_3SBr . «JAERY», 1980, M, № 8719, 1 (англ.)

Проведено рентгенографич. и нейтронографич. исследование (метод порошка, дифрактометры) $\gamma\text{-Ag}_3\text{SBr}$ (Ia) и $\beta\text{-Ag}_3\text{SBr}$ (Iб). Кристаллы Ia тетрагон., a 9,423, c 9,711 Å при 118°К, ф. гр. *Стст*, ф. гр. Iб *Pm3m*. Т-ра перехода Ia → Iб составляет 128 К, ΔH перехода 0,23 ккал/моль, ΔS перехода 1,77 кал/моль·град. Выше 430 К $\alpha\text{-Ag}_3\text{SBr}$ диссоциирует, при понижении т-ры возникает Iб. Проведено сравнение последовательностей фазовых переходов I и Ag_3SJ . Подробности предполагается опубликовать в *J. Phys. Soc. Jpn.*

В. Б. Калинин

2.1981.010

1980

Ag_3SBr

Ag_3SJ

6 Б945. Ag_3SBr и Ag_3SJ : дифрактометрическое изучение низкотемпературных модификаций. Spinelli G., Massarotti V. Ag_3SBr and Ag_3SJ : a diffractometric study of the low temperature modifications.

сост. на обзоре,

($\overline{\text{Itr}}$)

Сорб
ЧКИ

д. 1981. № 6

«Z. phys. Chem.» (BRD), 1980, 121, № 1, 7—15 (англ.;
рэз. нем.)

При т-рах 100—573 К методом порошковой дифрактометрии рентгеновских лучей изучены образцы Ag_3SBr и Ag_3SJ . Обнаружено, что оба соединения претерпевают по два фазовых перехода при т-рах: 161 и 126 К (Ag_3SBr), 159 и 508 К (Ag_3SJ). Переход при 161 К относится к фазовым переходам 2-го рода, он отражается в виде перелома на аррениусовской зависимости электропроводности, но не изменяет симметрию и постоянную решетки. Остальные переходы относятся к фазовым переходам 1-го рода и проявляют тепловые эффекты, разрывы на кривых проводимости и изменения в симметрии. Установлено, что ниже т-р переходов крист. структура Ag_3SBr является тетрагон. ($a=b$ 9,427(5), c 9,748(5) Å при 106,0 К), а структура Ag_3SJ — ромбоэдрич. квазикубич. [a 4,8781(2) Å при 126,1 К]. В обоих соединениях новая фаза непосредственно связана с кубич., стабильной при комн. т-ре. Показано, что некоторые особенности фазовых переходов характерны и для др. Ag^+ — сверхионных проводников.

И. Н. Бекман

1980

*Ag₃SB₃**Tr**Ф. 1981 № 2*

2 E819. Фазовый переход и структуры суперионного проводника Ag₃SB₃. The phase transition and the structures of superionic conductor Ag₃SB₃. Sakuma Takashi, Hoshino Sadao. «J. Phys. Soc. Jap.», 1980, 49, № 2, 678—683 (англ.)

Измерена зависимость уд. теплоемкости суперионного проводника Ag₃SB₃ от т-ры и методами рентгеновской и нейтронной дифракции исследована структура соединения в различных фазах. При 128° К обнаружен фазовый переход с λ-образной аномалией теплоемкости. Это переход 1-го рода, но с малой теплотой (0,23 кал/моль) и энтропией (1,77 кал/моль·град) перехода (т. е. близкий ко 2-му роду). Измерены решеточные параметры и определена структура обеих фаз (высокотемпературной β-фазы и низкотемпературной γ-фазы). β-Фаза имеет кубич. структуру, в которой ионы Ag⁺ хаотически распределены по четырем узлам на каждой грани куба. Упорядочение ионов Ag⁺ сопровождается структурным переходом в орторомбическую γ-фазу. Результаты работы сопоставляются с известными данными о фазовых диаграммах нескольких соединений с т. наз. антиперовскитной структурой: Ag₃SJ, CsPbCl₃. Е. И. Кац

Ag₃SBr

1980

V 93: 141210a The phase transition and the structures of superionic conductor trisilver sulfur bromide. Sakuma, Takashi; Hoshino, Sadao (Fac. Sci., Ibaraki Univ., Mito, Japan 310). *J. Phys. Soc. Jpn.* 1980, 49(2), 678-83 (Eng). The ordered phase concerning the Ag distribution of a superionic conductor Ag₃SBr was discovered below 128 K. The transition heat and the entropy change are 0.23 kcal/mol and 1.77 cal-mol deg, resp. The transition is of first order but is close to second order. The crystal structures of the newly found γ -phase and the room temp. β -phase were studied by a least-squares methods using x-ray and neutron diffraction data. The structures of the γ -phase of Ag₃SBr are similar to those of Phase III and Phase I of CsPbCl₃, resp. The space group of the γ -phase may be Cmcm. The lattice consts. of the γ -phase are a 9.423(8) and c 9.711(9) Å at 118 K. The nature of the phase transition of Ag₃SBr is discussed in connection with those of Ag₃SI and CsPbCl₃.

Ttr; Δ Htr

C.A. 1980, 93, N14

1981

Ag₃JS
Tet
11 E512. Структуры соединений и фазовые переходы в β - и γ -Ag₃JS. Structures and phase transition of β - and γ -Ag₃JS. Регентхалер Егберт, Шульц Хайнц, Вейлер Ганс У. «Acta crystallogr.», 1981, V37, № 5, 1017—1023 (англ.)

На монокристаллах Ag₃JS, обладающих суперионной проводимостью, в интервале 135—295 К с помощью четырехкружного дифрактометра проведено рентгенографич. определение структуры. β -фаза, устойчивая при комнатной т-ре, кристаллизуется в кубической элементарной ячейке с пространственной группой *Pm3m* с тремя ионами Ag⁺, распределенными между двенадцатью анионными (J, S)тетраэдрами. Температурный фактор ионов Ag аномально велик, и среднеквадратичные смещения достигают 0,19—0,39 Å. Переход в γ -фазу при 155 К не изменяет симметрии отражений, однако интенсивность некоторых из них существенно изменяется. Структура γ -фазы образована 16 различно ориентированными доменами с полностью занятymi позициями Ag. Пространственная группа доменов *R3*. Обе фазы содержат небольшую примесь α -Ag₂S, что обуславливает появление «лишних» рефлексов. Библ. 155.

Б. Г. Адапин

9.1981
NIE (18)

1981

Ag₃SJ

6 Б900. Фазовый переход в Ag_3SX ($\text{X} = \text{J}$, Br).
 Hoshino S., Fujishita H., Takashige M., Sakuma T. Phase transition of Ag_3SX ($\text{X} = \text{J}$, Br). Proceedings of the Third International Meeting on Solid Electrolytes—Solid State Ionics and Galvanic Cells, Tokyo, Sept. 15—19, 1980. «Solid Stae Ionics», 1981, 3-4, ISSN 0167—2738 NL, 35—39 (англ.)

Tz;

В диапазоне t-p 100—298 К проведены измерения неупругого рассеяния нейтронов на монокристалле Ag_3SJ , выращенного по методу Бриджмена. Определена t-p ная зависимость рассеяния фонов, оценены скорости звука. Наблюдалось изменение ориентации доменов в процессе фазового перехода при 157 К из β - в γ -фазу. Низкочастотный пик рассеяния в γ -фазе показывает, что существует локальная колебательная мода катионов. Поэтому сделано заключение, что β — γ -переход не только переход из неупорядоченного в упорядоченное состояние, но и структурный фазовый переход, сопровождаемый сдвигом атомов, аналогично переходам в сегнето- и антисегнетоэлектриках. На ча-

X. 1982, 19, N6.

стотах 120 Гц, 1, 10 и 100 кГц в интервале т-р 100—240 К определены т-рные зависимости диэлектрич. констант ϵ монокристалла Ag_3SJ и прессованного порошка Ag_3SBr (т-ра перехода 128 К). Для обоих соединений наблюдалось аномально большое увеличение ϵ до постоянной величины еще до т-р перехода. Для Ag_3SJ измерен также пироэлектрич. заряд. Предложены модели наблюдаемых фазовых переходов и сделано сравнение с лит. данными для переходов в аналогичных соединениях.

В. А. Ступников

1981

$\text{Ag}_3\text{S}^{\text{Ag}}$
 Ag_3SBr

T_c)

/ 95: 195428n Phase transition of Ag_3SX ($X = \text{I}, \text{Br}$). Hoshino, S.; Fujishita, H.; Takashige, M.; Sakuma, T. (Inst. Solid State Phys., Univ. Tokyo, Tekyo, Japan 106). *Solid State Ionics* 1981, 3-4, 35-9 (Eng). The structural phase transitions of Ag_3SI and Ag_3SBr at low temp. were studied by dielec. measurement as well as by neutron scattering. Both substances show an anomalous increase of dielec. const. at the transition point T_c but no peak at T_c is seen due to a high ionic cond. near and above T_c . Neutron inelastic scattering measurement showed the existence of a local model of thermal vibration at low temp. similar to that found in RbAg_4I_5 . Mechanisms of the phase transition in these crystals, as contrasted to the phase transition of CsPbCl_3 , are discussed in terms of the ionic motions and the order-disorder behavior of the cation.

● (71) Ag_3SBr

C.A. 1981, 95, N22.

Окисы и сульфиды Ag

1981

Laruelle P.

Ann. Chim. (France), 1982, 7,

Nd-3: Chem. and Phys. Sulfides,
Selenides and Tellurides Solids. Int. Colloq.

Сб-6а
(однор.)

CNRS, Paris, Sept. 14-17, 1981.

119-130.

(см. Окисы и сульфиды РЗЗ; I)

1981

Ag₃SJ

*фазовый
переход*

8 Б392. Структурные исследования, атомные потенциалы и фазовые переходы твердого ионного проводника Ag₃SJ. Регентхагер Е., Schulz H., Веуэлер Н. У. Structure investigations, atomic potentials, and phase transitions of the fast ionic conductor Ag₃Si. Fast Ionic Transport in Solids. Proc. Int. Conf., Gatlinburg, Tenn., May 18—22, 1981. «Solid State Ionics», 1981, 5, 493—496 (англ.)

Сообщаются результаты исследования структуры и фазовых переходов α -, β -, γ -Ag₃SJ в т-рном интервале 135—573 К [дифрактометр, λ Mo (низкие т-ры), λ Ag (высокие т-ры), 36, 101 и 58 независимых отражений для α -, β - и γ -фаз, соотв.]. Кристаллы кубич., ф. гр. $I\bar{m}3m$, R (0,12—0,06). В структурном уточнении применены ангармонич. т-рные факторы. Их коэф. использованы для вычисления распределения плотности вероятности и атомных потенциалов Ag. Из последних оценивалась активац. энергия. В высокот-рной α -фазе ионы

X. 1982, 19, N 8.

Ag распределены в (100) гранях. В β -фазе они размещены около центров грани. В низкотройной γ -фазе (ф. гр. $R\bar{3}m$) ионы Ag упорядочены и монокристалл преобразуется в кристалл с 16 ориентациями доменов.

С. М. Алдошин

С
и

Ag₃SJ

1981

5 E568. Исследование структуры, атомных потенциалов и фазовых переходов в ионном проводнике Ag₃SJ. Structure investigations, atomic potentials, and phase transitions of the fast ionic conductor Ag₃SI. Perenthaler E. Schulz Heinz, Beueler H. U.—Fast Ionic Transport in Solids. Proc. Int. Conf., Gatlinburg, Tenn., May 18—22, 1981.—«Solid State Ionics». 1981, 5, 493—496 (англ.)

На монокристаллах Ag₃SJ проведено рентгенографич. исследование структуры и полиморфизма соединения в диапазоне т-р 135—573 К. Определена локализация иона Ag во всех трех фазах, найдены эффективные атомные потенциалы α - и β -фаз, с помощью которых рассчитаны энергии активации процесса ионной проводимости в α -фазе и получена т-ра $\beta \rightarrow \gamma$ -перехода.

Б. Г. Алапин

Ф. 1982, 18, № 5.

1981

Ag₃JS

T_{t2}

22 Бі 134. Структуры и фазовый переход β - γ в Ag_3JS . Regenthaler Egbert, Schulz Heinz, Beyeler Hans U. Structures and phase transition of β - and γ - Ag_3JS . «Acta crystallogr.», 1981, V37, № 5, 1017—1023 (англ.)

Получены данные по рентгеновскому рассеянию на монокристалле Ag_3JS , являющимся быстрым ионным проводником в области т-р 135—295 К. Проведено уточнение структуры для кубич. низкот-рной β -фазы с пространственной группой $Pm\bar{3}m$ с тремя ионами Ag^+ , распределенными между 12 (J, S) тетраэдрами. Предложена альтернативная структурная модель с Ag в октаэдрич. узлах. Обнаружено, что при переходе к γ -фазе (115 K) зеркальная симметрия не нарушается, и что интенсивности только немногих отражений увеличиваются значительно (максимум в 100 раз). Показано, что монокрист. структура не разрушается при циклировании между β - и γ -фазами. При помощи метода Паттерсона показано, что в γ -фазе кристалл состоит из 16

ж. 1981 № 22, 19 АБ

различно ориентированных доменов с полностью занятymi Ag узлами. Домены рассеяны некогерентно, их пространственной группой является группа R3. Найдены дополнительные слабые отражения в β и γ -фазах, указывающие на то, что малые домены моноклин. α -фазы Ag_2S включены в кристалл.

Резюме

ол.

осн

Ag₃SJ

1982

2 E767. Аномалии скорости и затухания звука при β - γ -фазовом переходе в Ag₃SJ. Anomalies of acoustic attenuation and velocity at the β - γ phase transition in Ag₃SI. Kojima Akira, Akao Fumio. «J. Phys. Soc. Jap.», 1982, 51, № 8, 2377—2378 (англ.)

В интервале т-р от 140 до 300 К измерены затухание и скорость продольных УЗ-волн (частота 10 МГц), распространяющихся в монокристалле Ag₃SJ вдоль оси (100). При охлаждении обнаружены две точки перехода — при 161 и 157 К. Первая соответствует переходу типа упорядочения, вторая — β - γ -превращению. Структурное превращение происходит с гистерезисом и поэтому при нагреве наблюдается лишь одна точка перехода, в которой накладываются оба превращения. Э. Э.

Tzj

Ф.1983, 18, №2

Ag₃SBr_{0,5}J_{0,5}

1982

5 Е567. Кристаллическая структура и фазовый переход в $\text{Ag}_3\text{SBr}_{0,5}\text{J}_{0,5}$. Crystal structure and phase transition of $\text{Ag}_3\text{SBr}_{0,5}\text{J}_{0,5}$. Sakuma Takashi, Fujishita Hideshi, Hoshino Sadao. «J. Phys. Soc. Jap.», 1982, 51, № 8, 2628—2634 (англ.)

В суперионном соединении, синтезированном по керамич. технологии из Ag_3SBr и Ag_3SJ при 250°C в течение 6 месяцев, калориметрически и по измерениям диэлектрич. проницаемости обнаружен фазовый переход при 115 K с теплотой и энтропией $0,19\text{ ккал/моль}$ и $1,6\text{ кал/моль}\cdot\text{град}$ соответственно. Высокотемпературная β -фаза изоморфна $\beta\text{-Ag}_3\text{SJ}$, имеет пр. гр. $Pm\bar{3}m$, параметр элементарной ячейки $4,842\text{ \AA}$ и характеризуется разупорядочением анионов в галогенной подрешетке. В низкотемпературной γ -фазе происходит удвоение параметра решетки $a(\approx b \approx c) = 9,637\text{ \AA}$ (при 99 K), появляются ромбич. искажения (вероятная пр. гр. $Fmm2$) и наблюдается упорядочение катионов. Обсуждаются возможные механизмы $\gamma \leftrightarrow \beta$ -перехода.

Б. Г. Алапин

*кристал-
структур,
фазовый
переход*

φ. 1983, 18, N5

$\text{AgHS}(\text{aq})$

1983

$\text{Ag}(\text{HS})_2(\text{aq})$

Рознов В. К.,

$K_p, \Delta fH;$

Исследование гидролизных равновесий в системах содержащих серебро.

Автореферат диссертации
на соискание ученой степени
к. х. н., Узаргах, 1983.

$\text{Ag}(\text{HS})^0_{\text{(aq)}}$

1984

Колегиум Г. Р.,

$\text{Ag}(\text{HS})_2^-_{\text{(aq)}}$ Физико-хим. исследов.
суперфернам и сернистой
кислоте селитре.

Kp; Сборник научных трудов.
Новосибирск, 1984, 44-50.

Общественно-стимулогенезе
фернаматических комплексов рудообра-

зубочесок мечтатель.

(Клеер и В. А. Медведева).

AgCl : S

1984

8 E347. Влияние состояния включений на аномальную теплоемкость AgCl : S. Effects of impurity states on the anomalous specific heat of AgCl : S. Sonoike Sanematsu, Nagashima Toshio. «Jap. J. Appl. Phys.», 1984, Pt 1, 23, № 11, 1426—1428 (англ.)

Рассматривается 2-уровневая модель кристалла AgCl, легированного серой, с атомами серебра, находящимися в двух состояниях: коллоидном и «газовом». Исследовано влияние конц-ии атомов серы на величину аномальной теплоемкости AgCl. Показано, что диссоциация атомов серебра в кристалле осуществляется в форме эндо- и экзотермич. реакции. Отмечается, что конц-ия атомов серебра в кристалле растет с увеличением конц-ии легирующего элемента. Данные расчета согласуются с результатами эксперимента.

А. П. Рыженков

cf. 1985, 18, N 8

Om. 22721

1985

$\text{Ag}_2\text{S}-\text{AgCl}$

$\text{Ag}_2\text{S}-\text{AgBr}$ Blachnik R., Dreis-
 $\text{Ag}_2\text{S}-\text{AgI}$ Bach H.A.,

J. Solid State Chem.,
1985, 60, N1, 115-122.

Phys.

group:

Ag₃SJ

1985

5 Б2064. Нейтронодифракционное исследование распределения и тепловых колебаний ионов серебра в альфа- и бета- Ag_3SJ . Neutron diffraction study of the distribution and thermal motion of silver ions in alpha- and beta- Ag_3SJ . Didisheim J.-J., McMullan R. K., Wuensch B. J. «9 Eur. Crystallogr. Meet., Torino, 2—6 Sept., 1985. Abstr. Vol. 2». [Torino], 1985, 487—488 (англ.)

Проведено нейтронографич. исследование Ag_3SJ при т-рах 23—475°С. При 240°С происходит β — α -фазовый переход. Рассмотрены модели структуры β -фазы (23—232° С) с ангармонизмом тепловых колебаний атомов Ag и (или) частичной заселенностью октаэдрич. позиций. Более предпочтит. оказалась модель с атомами Ag в тетраэдрич. пустотах ($2S+2J$) и изотропными тепловыми колебаниями (72 отражения, R 3,9—5,9%). Анионно-неупорядоченная кубич. ($I\bar{m}3m$) α -фаза исследована при 323 и 475°С (20 отражений, R 3,3—4,5%).

Ю. А. Малиновский

X. 1986, 19, N5

AgSO_4

(8 макропа)

OM. 25237

1985

Романенко Г.Н., Шанкин
A. 21. 4 gp.,

Teoriya, 1985, N 4,
534-539.

KP
(расчлен.)

$\text{Ag}_2(\text{SO}_4)_3$ (K)

1986

De Kock C.W.,

Thermodynamic Properties of
Selected Metal Sulfates
and Their Hydrates.

U.S. Dept. of the Interior,
Bureau of Mines, Informa-
tion Circular 9081, 1986.

$\text{AgSO}_4^- (\text{K})$

1986

Nikolaeva N. M.

Zh. Neorg. Khim.

(K_f)

1986, 31(1), 247-50.

(cес. $\text{Ag}_2\text{SO}_4(\text{K})$; \bar{I})

Ag SO₃

1991

22 Б3015. Термодинамический анализ системы Ag—SO₃²⁻—H₂O /Cheng Deping, Xia Shijun //Ханчжоу дасюэ сюэбао. Цзыжань кэсюэбань =J. Hangzhou Univ. Natur. Sci. Ed. —1991 .—18 ,№ 4 .—С. 444—454 .—Кит. ;рез. англ.

Для 14 равновесий в системе Ag—SO₃²⁻—H₂O обобщены станд. редокс-потенциалы и константы обменных р-ций. Построены диаграммы Е—рН, учитывающие образование двух сульфитных комплексов AgSO₃⁻ и Ag(SO₃)₂³⁻.

А. С. Гузей

(Kc)

X. 1992, N 22-24

$\text{Ag}_2\text{S}_2\text{O}_3$

1992

Николаева Н. И.

Тюлькова З. И. и др.

Сер. науч. пр. 1992, №1.

с. 127-134.

(авт. NaAgS_2O_3 ; I)

R_c

$[\text{Ag}(\text{NH}_3)_2]_3\text{O}_4$ 1992

Zachwieja U., Jacobs H.,

Gruenar-
emerykrypa Z. Kristallogr. 1992,
201, N3-4, C.207-212

P.A.X. XII, 1993, 115 2044

Ag₃Si

1994

16Б230. Уточнение строения Ag₃Si методом рентгеновской дифракции монокристалла.
Structural refinement of Ag₃Si by single crystal X-ray diffraction method / Cho N., Kikkawa S., Kanamaru F., Yoshiasa A. // Solid State Ionics . — 1994 . — 68, № 1-2 . — С. 57—63 . — Англ.

Монокристаллы Ag₃Si получены смешиванием эквимолярных количеств AgI и Ag₂S с последующим отжигом в кварцевых ампулах при 973К 3 суток, закалкой, повторным отжигом при 873К 3 суток, при 473К 3 суток и медленным охлаждением до комнатной температуры. РСТА проведен на помещенном в кварцевый капилляр монокристалле β -Ag₃Si при температурах 173, 296, 473К, а также

СМР-Р

Tt2

X. 1997, N 16

для монокристалла α -Ag₃Si при 583, 643 и 153К; в последнем случае экспериментальные данные собраны после нагревания образца до 703К и закалки, установлена ф. гр. Im3m, параметр кубической элементарной ячейки 4,930 Å. Для всех структурных данных фактор недостоверности R_w не превышал 0,034. На температурной зависимости параметра кубической элементарной ячейки Ag₃Si выявлено значительное увеличение в области от 520 до 590К, что объясняется существованием промежуточной области с различной степенью упорядочения анионов. Фазовый переход β -Ag₃Si с ф. гр. Pm3m в α -Ag₃Si с ф. гр. Im3m является переходом типа порядок—беспорядок относительно анионов. Данные РСТА для α -Ag₃Si при 153К подтверждают, что для высокотемпературной формы имеет место статистическое заполнение атомами Ag двух кристаллографических позиций 8c и 24g, степень за-селенности 0,07 и 0,10, соответственно.

В. П. Сиротинкин

F: Ag₆S₃O₄

P: 1

1995

1Б357. Фаза Ag[6]S[3]O[4] и ее основные свойства. Ag[6]S[3]O[4] phase and its basic properties / Walczak Jadwiga, Boccuzzi Flora, Lukaszczuk-Tomaszewicz Elzbieta // J. Alloys and Compounds. - 1995. 224, N 2. - С. 203-206. - Англ.

Дифракционная картина образцов, полученных нагреванием на воздухе смеси 33,33 мол.% Ag₂SO₄ и 66,67 мол.% Ag₂S, содержит дифракц. линии, к-рые не м. б. приписаны ни одной из известных фаз, существующих в системе Ag-O-S. Эти линии были отнесены за счет новой фазы монокл. системы, имеющей формулу Ag₆S₃O₄ с параметрами решетки $a=17,782 \text{ \AA}$, $b=6,982 \text{ \AA}$, $c=13,432 \text{ \AA}$, ' β 'ета'=105,60°. Фаза Ag₆S₃O₄ коричнево-фиолетового цвета с плотностью 6,68 г/см³, т-рой плавления 390'+-'10 °С и т-рой начала разложения 530'+-'10 °С.. Тм.

X. 1996, N 1

Ag_2SO_2

1995

122: 275224j A new phase in the Ag-O-S system. Walczak, Jadwiga; Tomaszewicz, Elzbieta (Dep. Inorganic Chem., Technical Univ. Szczecin, 71-065 Szczecin, Pol.). *J. Therm. Anal.* 1995, 43(1), 319-22 (Eng). The reaction between Ag_2SO_4 and Ag_2S in air was studied by DTA and x-ray phase powder diffraction confirming the existence of a new phase, Ag_2SO_2 , in the Ag-O-S system.

Prepared
by heating
of cementite
 $\text{Ag}-\text{O}-\text{S}$

C.A.1995, 122, n22

Om. 40264

2000

β -Ag₆SiO₄

изобретение

"
патентное
изобретение

Kurzawa M.,
Tomaszewicz E.,

Thermochim. Acta,
2000, 346,

161-167.